

Необходимо отметить, что только 20% опытов по использованию перехода детонационной волны из трубы с  $d=50$  мм в трубу с  $d=295$  мм (без конуса) заканчивались успешно, т. е. волна не разрушалась. Увеличение диаметра инициирующей трубы до 60 мм привело к 100%-ной повторяемости опытов с переходом волны без разрушения. Очевидно диаметр 50 мм — критический по условиям возбуждения сферической детонации. Применение трубы критического диаметра может быть причиной более узких концентрационных пределов инициирования сферической детонации.

*Поступила в редакцию 15/III 1976,  
после доработки — 16/VIII 1976*

#### ЛИТЕРАТУРА

- Разрушение горного массива машинами взрыво-импульсного действия. М., «Наука», 1974.
- Д. П. Лобанов, Е. Г. Фонберштейн, С. П. Экомасов. ФГВ, 1976, 12, 3.
- К. И. Щелкин, Я. К. Трошин. Газодинамика горения. М., Изд-во АН СССР, 1963.
- Л. Н. Хитрин. Физика горения и взрыва. М., изд. МГУ, 1957.

### О СТРУКТУРЕ КОЛЕБАНИЙ ПРИ ГОРЕНИИ СМЕСЕЙ ТАНТАЛА С УГЛЕРОДОМ

*В. М. Шкиро, Г. А. Нерсисян*

(Черноголовка)

В настоящее время показана возможность использования процессов горения для получения многих тугоплавких неорганических соединений [1], приобретающих все большее практическое значение. Проведенные в связи с этим экспериментальные и теоретические исследования выявили ряд новых и интересных особенностей распространения фронта экзотермической реакции в конденсированном веществе [2—8]. Новый и малоисследованный режим — автоколебательное горение — предсказан теоретически [6] и осуществлен экспериментально [2, 3]. В теоретических работах [6, 7] показано, что с удалением от предела возникновения автоколебаний в область неустойчивости характер пульсаций усложняется и наблюдается переход от гармонических колебаний к релаксационным. Однако сложная структура автоколебаний экспериментально еще не наблюдалась.

В настоящей работе изложены экспериментальные данные об изменении структуры колебаний пульсирующего режима горения при удалении от предела устойчивости на примере горения смесей тантала с углеродом. Для приготовления смесей использовался порошок тантала с содержанием основного компонента не менее 99,3% и технический углерод (ламповая сажа ПМ-15 ТС), взятые в стехиометрическом соотношении. При соответствующем соотношении компонентов в исходной смеси после синтеза в режиме горения происходит образование карбидов тантала —  $Ta_2C$  либо  $TaC$ . Эксперименты проводились на цилиндрических образцах диаметром 15 мм, спрессованных из смесей до относительных плотностей  $\approx 0,47 \rho_{\text{max}}$ . Опыты проводились в бомбе постоянного давления [9] в атмосфере инертного газа аргона.

Согласно теоретическим представлениям [4, 6, 7], при удалении от предела устойчивости, достигаемого уменьшением критерия

$$\alpha = 9,1 \frac{\bar{c}}{Q} \frac{RT_r^2}{E} \left( 1 - 0,27 \frac{Q}{\bar{c} T_r} \right) < 1$$

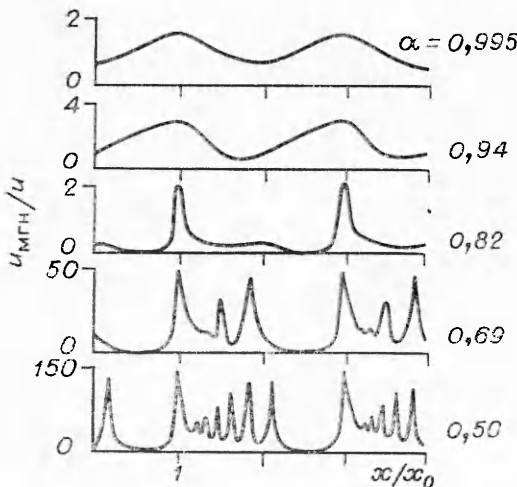
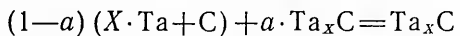


Рис. 1. Структура пульсаций при различных удалениях от предела устойчивости [6].



( $X=1; 2$ ;  $a$  — процент инертной добавки) происходит изменение характера пульсирующего горения (рис. 2). Это аналогично изменению  $\alpha$  за счет уменьшения  $T_g$ . Так, для  $a=0; 2,38, 13, 20\%$  рассчитанные адиабатические температуры горения [10] соответственно равны 2650, 2560, 2350, 2200К. При введении инертной добавки (небольшие значения  $a$ ) средняя скорость горения и частота колебаний уменьшаются, при этом амплитуда пульсаций увеличивается и сами колебания приобретают более релаксационный характер. Дальнейшее увеличение разбавления приводит к изменению структуры колебаний — два всплеска скорости на одном периоде (см. рис. 2, в) — и к еще более сложным колебаниям (см. рис. 2, г). Картина, наблюдавшаяся в эксперименте, качественно соответствует теоретически предсказанный [6].

Поступила в редакцию 5/VII 1976,  
после доработки — 28/I 1977

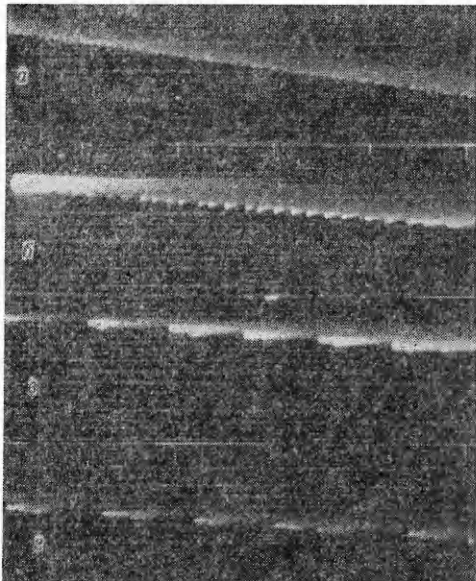


Рис. 2. Структура пульсаций при горении смесей  $2Ta + C$  при разбавлении инертной добавкой в количестве 0, 2,38, 13, 20% (а, б, в, г соответственно);  $p_{Ar} = 40$  атм.

#### ЛИТЕРАТУРА

1. А. Г. Мержанов, И. П. Боровинская. Докл. АН СССР, 1972, 202, 4.
2. А. Г. Мержанов, А. К. Филоненко, И. П. Боровинская. Докл. АН СССР, 1973, 208, 4.
3. И. П. Боровинская, А. Г. Мержанов и др. ФГВ, 1974, 10, 1.
4. А. Г. Мержанов. Arch. combust. process., 1974, 5, 1.
5. А. К. Филоненко, В. Н. Вершинников. ФГВ, 1975, 11, 3.

6. К. Г. Шкадинский, Б. И. Хайкин, А. Г. Мержанов. ФГВ, 1971, 7, 1.
  7. А. П. Алдущин, Т. М. Мартемьянова и др. ФГВ, 1973, 9, 5.
  8. А. Г. Мержанов, И. П. Боровинская. Combust. Sci. and Technol., 1975, 10.
  9. Н. Н. Бахман, А. Ф. Беляев. Горение гетерогенных конденсированных систем. М., «Наука», 1967.
  10. Р. Ф. Войтович. Тугоплавкие соединения. Справочник. Киев, «Наукова думка», 1971.
- 

## ИССЛЕДОВАНИЕ ГАШЕНИЯ БАЛЛИСТИТНЫХ ПОРОХОВ СПАДОМ ДАВЛЕНИЯ

Ю. С. Иващенко, А. С. Комаров

(Красноярск)

Экспериментальным исследованиям гашения порохов быстрым спадом давления посвящено сравнительно небольшое количество работ. Чаще всего процесс потухания изучается путем регистрации давления и яркости пламени в процессе спада давления (см., например, [1]). Кроме оценки процесса потухания пороха с помощью эффектов в газовой фазе представляет интерес также изучение характеристик гашения по изменению свойств к-фазы в процессе спада давления.

В настоящей работе изложены результаты исследования процесса потухания баллиститного пороха типа Н и пороха Н, содержащего 10% алюминия, в закритической области скоростей спада давления путем непрерывного измерения электропроводности  $\sigma_k$  реакционного слоя к-фазы при спаде давления.

В процессе измерений регистрировались значения логарифма электропроводности  $\ln \sigma_k$  во времени. Величина  $\ln \sigma_k$ , как известно, связана с температурой поверхности  $T_n$  реакционного слоя к-фазы соотношением [2]

$$\ln \sigma_k = \ln A - E/2kT_n.$$

где  $E$  — энергия активации;  $k$  — постоянная Больцмана;  $A$  — постоянный коэффициент.

На рис. 1 дана блок-схема измерений. Электропроводность поверхностного слоя образца 1 с нанесенными на него электродами измеряется в процессе горения  $\sigma$ -метром 2. Электрический сигнал в виде напряжения, пропорционального электропроводности  $\sigma_k$  слоя, логарифмируется усилителем 3 и усиливается выходным усилителем 4. Величина напряжения, пропорциональная  $\ln \sigma_k$ , регистрируется шлейфовым осциллографом 5. Электропроводность измерялась на частоте 4000 Гц, погрешность измерений  $\ln \sigma_k$  составила  $<3\%$ , постоянная времени измерений равнялась  $\sim 1$  мс. Из полученных осцилограмм определялись полное время  $\tau$  потухания пороха по кривой  $\ln \sigma_k(t)$  от начала спада давления до момента полного исчезновения проводимости реакционного слоя.

Прямоугольные образцы пороха сечением  $7 \times 15$  мм<sup>2</sup> и длиной 90 мм с напыленными в вакууме электродами из олова [2] и покрытыми парафином для обеспечения торцевого горения подключались к измерительной схеме. Опыты проводились в приборе постоянного давления, снабженного устройством для быстрого сброса давления с

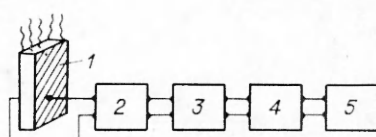


Рис. 1.